

I-59 重力ダムの地震時動水圧に対する河床こう配の影響について

京都大学工学部 正員 土岐繁三
 京都大学工学部 正員 横山康夫
 京都大学工学部 正員 ○尾島 勝

1. 本えがき

重力ダムやアーチダムに作用する地震時動水圧についての研究は少なくてないが、それらの理論解析の多くは、ダムの上流の河床が水平である場合を対象としたものであって、上流の河床こう配の変化による地震時動水圧の影響についてはほとんど考慮が払われず、またその裏づけがはされていないようである。そこで講演者はダムの上流河床こう配の変化が動水圧に及ぼす影響を実験によりとして、理論解析ならびに模型実験を実施し、これまでの慣用式との比較検討を行なった。

2. 墓体のみが振動する場合の理論解析

ダム上流面が図-1に示すような円弧で近似できるダムを対象として解析を行なった。河床こう配はみだり一樣こう配と仮定し、ダムから最遠点の水面を座標原点にとり、極座標を用いると、点(r, θ)の時間方向における動水圧 σ に関する微分方程式は、次の波动方程式で与えられる。

$$\frac{\partial^2 \sigma}{\partial r^2} + \frac{1}{r} \frac{\partial \sigma}{\partial r} + \frac{1}{r^2} \frac{\partial^2 \sigma}{\partial \theta^2} - \frac{1}{c^2} \frac{\partial^2 \sigma}{\partial t^2} = 0 \quad (C: \text{水中での音速}) \quad (1)$$

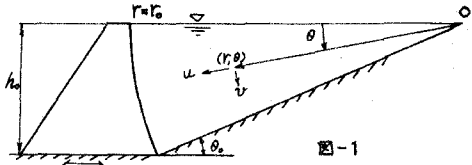


図-1

いま考える領域を $0 \leq \theta \leq \theta_0$, $0 \leq r \leq r_0$ とし、墳体が河流方向に $y_0 = Rg/w^2 \cdot \sin \omega t$ の位相運動を復ければ、境界条件式は次のように表められる (ρ : 水の密度)。

$$(\sigma)_{\theta=0} = 0, \quad \left(-\frac{\partial \sigma}{\partial r}\right)_{\theta=\theta_0} = 0, \quad \frac{1}{\rho} \left(-\frac{\partial \sigma}{\partial r}\right)_{r=r_0} = -Rg \sin \omega t \cdot \cos \theta \quad (2)$$

$\sigma(r, \theta, t) = R(r) \cdot \Theta(\theta) \cdot \sin \omega t$ において変数分離の手法を用いて式(2)を満足する式(1)の解は、次式のようになる。

$$\sigma = \frac{4RgPZ}{\lambda \theta_0} \sum_{m=1}^{\infty} \frac{\mu_m + C_1 \sin \theta_0}{\mu_m^2 - 1} \cdot \frac{J_{\mu_m}(Xr)}{J_{\mu_m}(Xr) - J'_{\mu_m}(Xr)} \cdot \sin \mu_m \theta \cdot \sin \omega t, \quad \mu_m = \frac{(2m-1)\pi}{2\theta_0} \quad (m=1, 2, \dots) \quad (3)$$

したがってダム面に働く動水圧の最大値(σ_{max})は上式で $J_{\mu_m}(Xr) = J_{\mu_m}(Xr_0)$ 、かつ $\sin \omega t = 1$ となる値で与えられる。

3. 墓体と地盤が一体となり振動する場合の理論解析

2.で解析したと同様に座標を用いて解析を行なうべく、動水圧に関する基礎微分方程式は式(1)で与えられる。考慮する領域を $0 \leq \theta \leq \theta_0$, $0 \leq r \leq r_0$ として、墳体と地盤がともに河流方向に振動加速度 $f(t)$ を受けたとすれば、境界条件式は次のように表められる (ρ : 水の密度)。

$$(\sigma)_{\theta=0} = 0, \quad \frac{1}{\rho} \left(-\frac{\partial \sigma}{\partial r}\right)_{r=r_0} = f(t) \cdot \cos \theta_0, \quad \frac{1}{\rho} \left(-\frac{\partial \sigma}{\partial \theta}\right)_{\theta=\theta_0} = f(t) \cdot \sin \theta_0, \quad (\sigma)_{r=0} = 0 \quad (4)$$

すなはち初期条件として $(\sigma)_{t=0} = (\partial \sigma / \partial t)_{t=0} = 0$ を与える。 (5)

初期条件 $(\partial \sigma / \partial t)_{t=0} = 0$ を考慮して $\sigma(r, \theta, t) = R(r) \cdot \Theta(\theta) \cdot \cos \omega t$ とおいて式(1)に代入して変数分離を行なうと、 r, θ に関する 2 個の常微分方程式は Sturm-Liouville 型となり、固有関数による $\sigma(r, \theta, t)$ の展開が可能である。 Duhamel の解法を用いて非定常解を求めたのち、定常解を定めた方法をとった。

まず $f(t) = 0$ の場合を考え、式(4)を満足する式(1)の解を求めるところによると、

$$\sigma_r = \sum_{m=1}^{\infty} \sum_{l=1}^{\infty} A(m, l) \cdot J_m(\lambda_m r) \cdot \sin \mu_m \theta \cdot \cos \omega t \quad (6)$$

ここで $A(m, l)$ は未定係数、 $\mu_m, \lambda_m = (2m-1)\pi/2\theta$ ($m=1, 2, \dots$)、 λ_l は $J_m'(\lambda_m r) = 0$ の根である。

次に $f(t) = 1$ の場合を考え、 $\frac{1}{r} \frac{\partial}{\partial r} (-\frac{\partial \sigma}{\partial r})|_{r=R} = 1 \cdot \cos \theta$ 、 $\frac{1}{r} \frac{\partial}{\partial r} (-\frac{\partial \sigma}{\partial r})|_{r=0} = 1 \cdot \sin \theta$ の両式と式(1)を満足する定常解 $-P_1 \cos \theta$ を見出し、これに式(6)を加わえたものが解となる。しかるのち初期条件 $(\sigma)_{t=0} = 0$ を満足するように未定係数 $A(m, l)$ を求めればよい。このようにして $f(t) = 1$ の場合の解が求まつたから Duhamel の定理を用いて非定常解は次のように求まる。

$$\sigma(r, \theta, t) = \frac{4PCG}{\theta} \sum_{m=1}^{\infty} \sum_{l=1}^{\infty} \frac{\mu_m + (-1)^m \sin \theta}{\mu_m^2 - 1} \cdot \frac{\lambda_l^2 \int_0^r S J_m(\lambda_l r) dS}{\{\lambda_l(\mu_m - 1) - \lambda_l \omega_l\}^2 + \lambda_l \omega_l \frac{J_m'(\lambda_l r)}{J_m(\lambda_l r)}} \cdot J_m(\lambda_l r) \cdot \sin \mu_m \theta \int_0^t f(t') \sin \lambda_l \omega_l (t-t') dt' \quad (7)$$

ω で地盤動として ω_0/μ $\cdot \cos pt$ の定常振動を与える時、テム面における動水圧の最大値は次式である。

$$(\sigma_{max})_{max} = \frac{8PCGCl}{\theta} \sum_{m=1}^{\infty} \sum_{l=1}^{\infty} \frac{\mu_m + (-1)^m \sin \theta}{\mu_m^2 - 1} \cdot \frac{\lambda_l^2 \int_0^r S J_m(\lambda_l r) dS}{\mu_m(\mu_m - 1) - (\lambda_l \omega_l)^2 + \lambda_l \omega_l \frac{J_m'(\lambda_l r)}{J_m(\lambda_l r)}} \cdot \sin \mu_m \theta \quad (8)$$

4. 実験結果および理論解に対する考察

テム模型は高さ 30 cm、奥行き 1 m で、傾斜二つの配は $5^\circ, 7.5^\circ, 10^\circ, 12.5^\circ, 15^\circ$ と 5 段階に変化させられたもので、最長水面は 2 m である。実験は水深 21 cm で θ_0 をさきの 5 段階に変え、動水圧を小型水圧計により直接測定した。その結果の一例を図-2 に示す。図中の実線は式(3)より求まる動水圧の最大値を与えた理論曲線であり、点線は Westergaard の簡易式による理論値である。 θ_0 が小さい場合には実験値と理論値はほぼ一致している。式(3)を簡易化し共振が生ずる水深 h_0 と周期 T の関係を θ_0 をパラメータとして図-3 に示す。水深と周期との関係が図の(A)領域に入ると共振は起らなければ(B)領域に入ると共振を生ずることがわかる。また(A)領域に入ると場合でも θ_0 が大きい場合には θ_0 の変動による動水圧の値の変動は無視できることがわかる。

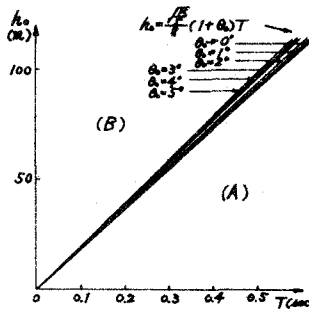


図-3 共振を起こす水深 h_0 と T の関係

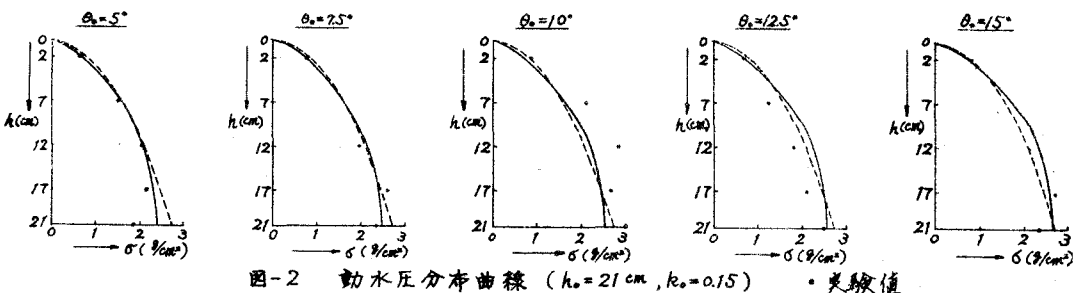


図-2 動水圧分布曲線 ($h_0 = 21$ cm, $k_0 = 0.15$) • 実験値